

이차원 셀룰라 오토마타 기반 해쉬함수에 대한 충돌쌍 공격¹⁾

*최준근 **류한성 ***이제상 ****홍석희

고려대학교 정보경영공학전문대학원

*joongeun@cist.korea.ac.kr

Collision Attack of a Hash Function based on 2D Cellular Automata

*Choi, Joon-Geun **Ryu, Han-Seong ***Lee, Je-Sang ****Hong, Seok-Hie

Graduate School of Information Management and Security, Korea University

요약

김재겸은 2005년 한국 멀티미디어 학회 논문지에 새로운 이차원 셀룰라 오토마타 설계 방법을 소개하고 이 설계 방법으로 구성된 이차원 셀룰라 오토마타를 이용한 해쉬함수를 제안하였다. 본 논문에서는 이 해쉬함수에 대한 첫 번째 분석 결과를 소개한다. 이 해쉬함수는 8 라운드로 구성되고 한 라운드는 두 개의 비선형 연산 부분을 포함하고 있으며, 메시지는 두 비선형 연산 부분에 모두 사용된다. 메시지 차분이 비선형 연산 부분을 거친 뒤 사라질 확률은 2^{-14} 이다. 따라서 1 라운드 후 약 2^{-28} 의 확률로 이 해쉬함수의 충돌쌍을 찾을 수 있다. 본 논문의 분석 결과를 통하여 이 해쉬함수는 매우 취약함을 알 수 있다.

1. 서론

셀룰라 오토마타(CA, Cellular Automata)란 공간과 시간을 이산적으로 다루고 셀룰라 공간의 기본 단위인 각 셀(Cell)의 상태를 유한하게 처리하며, 각 셀의 상태가 국소적 상호작용에 의해 동시에 갱신되는 시스템이다. 이런 셀룰라 오토마타의 확산 특성과 국소적인 상호작용은 암호시스템을 설계하는데 적합하여 LFSR의 대안으로 제시되었으며, 의사난수 생성기나 알고리즘 설계 등 다양한 암호학적 분야에서 쓰이고 있다.

2005년도에는 CA기법을 이용한 해쉬함수가 김재겸에 의해 제안되었다[1]. 본 논문에서는 전개상의 편의를 위해 이 해쉬함수를 2CAH라고 표기하겠다. 2CAH는 셀의 동시변환규칙과 비트의 위치변환규칙을 이용하여 고정된 해쉬값을 출력한다.

본 논문에서는 동시변환규칙의 취약점을 이용하여 2^{-28} 의 확률로 충돌쌍을 찾을 수 있음을 보인다.

본 논문의 구성은 다음과 같다. 2장에서는 CA에 대한 기본적인 내용을 소개하고, 3장에서는 2CAH를 설명한다. 4장에서는 동시변환규칙의 차분 성질을 이용하여 전체라운드의 충돌쌍 공격을 제시한다. 마지막으로 5장은 본 논문의 결론이다.

2. 셀룰라 오토마타

CA란 동역학계(dynamic system)를 해석하는 한 방법으로 공간과 시간을 이산적으로 다루고, 이산적인 공간을 셀룰라 공간(cellular space)의 기본 단위인 각 셀의 취할 수 있는 상태를 유한하게 처리한다. CA는 배열에 따라서 1차원과 2차원으로 나뉜다. 가장 간단한 구조

를 가지는 1차원 CA는 국소적인 상호작용이 인접하는 3개의 셀들에 의해서 이루어지는 1차원 3-이웃 CA이다.

CA를 설명하기 위해서는 다음의 기호들이 사용된다.

i : 1차원 배열에서 각 셀의 위치

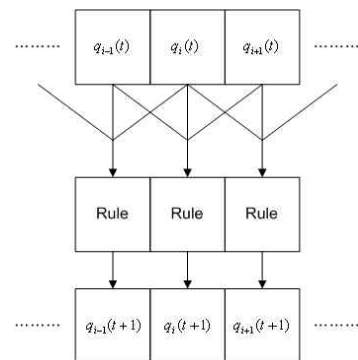
t : 시간 단계

$q_i(t)$: t 번째 시간 단계에서 i 번째 셀의 상태

$q_i(t+1)$: $(t+1)$ 번째 시간 단계에서 i 번째 셀의 상태

3-이웃 CA에서의 각 셀의 상태의 동시 갱신에 사용되는 상태전이 함수는 다음과 같이 정의하며, [그림 1]과 같다.

$$q_i(t+1) = f[q_{i-1}(t), q_i(t), q_{i+1}(t)]$$



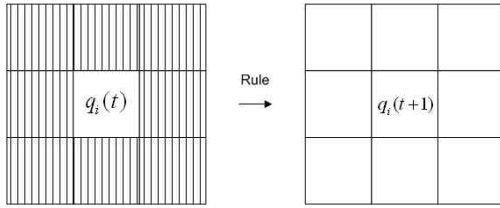
[그림 1] 3-이웃에 대한 상태전이 함수

2차원 CA는 2차원 배열의 각 셀에 대해 이웃해 있는 셀들이 다음 상태에 영향을 미치는 구조를 가지며, [그림 2]와 같다.

2CAH에서는 셀 공간을 2차원 배열로 구성하고, 1차원 3-이웃

1) 본 연구는 정보통신부 및 정보통신연구진흥원의 대학 IT연구센터 지원사업의 연구결과로 수행되었음 (IITA-2008-(C1090-0801-0025))

CA의 상태전이 함수를 사용한다.



[그림 2] 2차원 CA의 상태전이 함수의 예

3. 2CAH

본 절에서는 2005년 한국 멀티미디어 학회 논문지에 김재겸이 제안한 2CAH에 대하여 간략히 소개한다.

가. 표기

- X_l : l 번째 셀의 현재 상태
- X_{l-1} : l 번째 셀의 왼쪽 이웃의 현재 상태
- X_{l+1} : l 번째 셀의 오른쪽 이웃의 현재 상태
- Y_l : l 번째 셀의 다음 상태
- Y_{l-1} : l 번째 셀의 왼쪽 이웃의 현재 상태
- Y_{l+1} : l 번째 셀의 오른쪽 이웃의 현재 상태
- \overline{X}_l : l 번째 셀의 현재 상태의 보수
- \oplus : bitwise XOR
- OR : bitwise OR
- $a \ll n$: a 의 현재 상태를 정수 n 만큼 왼쪽으로 로테이션
- M_l : l 번째 32비트 메시지 블록
- A_3 : 32비트 블록 A 의 오른쪽 끝을 0번으로 A 의 왼쪽 끝을 31번 비트라고 하였을 때, 24번 비트에서 31번 비트까지의 8비트
- A_2 : 32비트 블록 A 의 오른쪽 끝을 0번으로 A 의 왼쪽 끝을 31번 비트라고 하였을 때, 16번 비트에서 23번 비트까지의 8비트
- A_1 : 32비트 블록 A 의 오른쪽 끝을 0번으로 A 의 왼쪽 끝을 31번 비트라고 하였을 때, 8번 비트에서 15번 비트까지의 8비트
- A_0 : 32비트 블록 A 의 오른쪽 끝을 0번으로 A 의 왼쪽 끝을 31번 비트라고 하였을 때, 0번 비트에서 7번 비트까지의 8비트

나. 셀룰라 공간

2CAH의 셀룰라 공간은 1차원 CA와 달리 셀의 공간을 36개의 사각형들로 분할되어 있는 평면도형으로 설계하였다. 각 셀은 각각 C_0 부터 C_{35} 번까지의 셀 번호를 가지며, 각 셀은 8비트의 입력 값을 가진다.

C_0	C_1	C_2	C_3	C_4	C_5	C_6	C_7	C_8
C_9	C_{10}	C_{11}	C_{12}	C_{13}	C_{14}	C_{15}	C_{16}	C_{17}
C_{18}	C_{19}	C_{20}	C_{21}	C_{22}	C_{23}	C_{24}	C_{25}	C_{26}
C_{27}	C_{28}	C_{29}	C_{30}	C_{31}	C_{32}	C_{33}	C_{34}	C_{35}

[표 1] 2CAH 셀룰라 공간

다. 상태전이 함수

2CAH에 사용되는 상태전이 함수 L과 NL은 다음과 같다.

1) 동시변환 규칙 L

동시변환 규칙 L은 선형함수로 구성되며, 다음과 같이 정의된다.

$$Y_l = (X_{l-1} \oplus X_l \oplus X_{l+1})$$

이 때 [표 1]의 C_0, C_9, C_{18}, C_{27} 셀의 왼쪽 이웃은 각각 $C_8, C_{17}, C_{26}, C_{35}$ 번 셀로 정의하고, [표 1]의 $C_8, C_{17}, C_{26}, C_{35}$ 번 셀의 오른쪽 이웃은 각각 C_0, C_9, C_{18}, C_{27} 번 셀로 정의한다.

2) 동시변환 규칙 NL

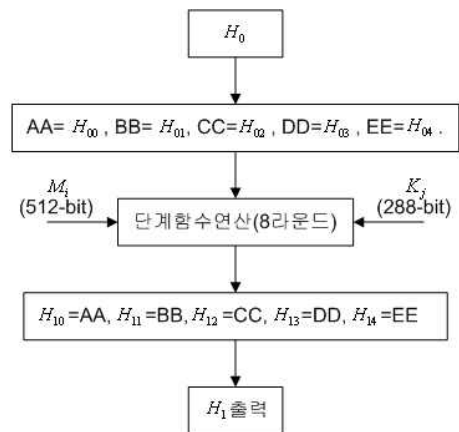
동시변환 규칙 NL은 비선형함수로 구성되며, 식은 다음과 같이 정의된다.

$$Y_l = (X_{l-1} \oplus X_l \oplus X_{l+1}) OR (X_l \oplus \overline{X_{l+1}})$$

이 때도 위와 마찬가지로 [표 1]의 C_0, C_9, C_{18}, C_{27} 셀의 왼쪽 이웃은 각각 $C_8, C_{17}, C_{26}, C_{35}$ 번 셀로 정의하고, [표 1]의 $C_8, C_{17}, C_{26}, C_{35}$ 번 셀의 오른쪽 이웃은 각각 C_0, C_9, C_{18}, C_{27} 번 셀로 정의한다.

라. 2CAH

2CAH는 2005년 김재겸에 의하여 개발된 해쉬함수로서 임의의 길 이 메시지를 입력받아 160비트 해쉬값을 출력한다. 임의의 메시지가 주어지면 2CAH 해쉬함수는 메시지의 길이가 512비트의 배수가 되도록 덧붙이기(padding)를 수행하고, Merkle-Damgård 구성 방법을 이용하여 160비트 해쉬값을 출력한다. 전체 구조는 [그림 3]과 같다.



[그림 3] 2CAH

2CAH에서는 키를 사용하는 경우와 임의의 상수를 사용하는 경우에 모두 적용 가능하도록 구성되었다. 본 논문에서는 이와 무관하게 충돌쌍 공격이 수행되므로, 288비트의 임의의 상수 $K_j (0 \leq j \leq 8)$ 를 사용하겠다.

2CAH의 초기값, 단계함수 및 출력값은 다음과 같다.

1) 초기값

해쉬함수 연쇄변수의 초기 상수값 H_0 는 16진수로 다음과 같다.

$$\begin{aligned} H_{00} &\leftarrow 67452301_x & H_{01} &\leftarrow efcdab89_x & H_{02} &\leftarrow 98badcfe_x \\ H_{03} &\leftarrow 10325476_x & H_{04} &\leftarrow c3d2e1f0_x \end{aligned}$$

이 값을 다음과 같이 초기화한다.

$$AA = H_{00}, BB = H_{01}, CC = H_{02}, DD = H_{03}, EE = H_{04}$$

2) 단계함수연산

단계함수연산은 다음과 같이 정의된다.

```

C0 ← AA3, C9 ← AA2, C18 ← AA1, C27 ← AA0,
C2 ← BB3, C11 ← BB2, C20 ← BB1, C29 ← BB0,
C4 ← CC3, C13 ← CC2, C22 ← CC1, C31 ← CC0,
C6 ← DD3, C15 ← DD2, C24 ← DD1, C33 ← DD0,
C8 ← EE3, C17 ← EE2, C26 ← EE1, C35 ← EE0
i = 0, j = 0
while(i < 8) // 라운드함수
{
// 라운드 입력 메시지 및 키 셋팅
C1 ← M[2i]3, C10 ← M[2i]2, C19 ← M[2i]1, C28 ← M[2i]0,
C3 ← K[j]3, C12 ← K[j]2, C21 ← K[j]1, C30 ← K[j]0,
C5 ← K[j+1]3, C14 ← K[j+1]2, C23 ← K[j+1]1, C32 ← K[j+1]0,
C7 ← M[2i+1]3, C16 ← M[2i+1]2, C25 ← M[2i+1]1, C34 ← M[2i+1]0

for k ← 0 to 2 // 선형단계1
Yi = (Xi-1 ⊕ Xi ⊕ Xi+1)
(K[j]3 || K[j]2 || K[j]1 || K[j]0) ≪ 1
(CC3 || CC2 || CC1 || CC0) ≪ 7
(DD3 || DD2 || DD1 || DD0) ≪ 13

for k ← 0 to 2 // 비선형단계1
Yi = (Xi-1 ⊕ Xi ⊕ Xi+1) OR (Xi ⊕ Xi+1)
(K[j]3 || K[j]2 || K[j]1 || K[j]0) ≪ 1
(CC3 || CC2 || CC1 || CC0) ≪ 7
(DD3 || DD2 || DD1 || DD0) ≪ 13

// 라운드 입력 메시지 갱신
M[2i] ≪ 16, M[2i+1] ≪ 24
C1 ← M[2i]3, C10 ← M[2i]2, C19 ← M[2i]1, C28 ← M[2i]0
C7 ← M[2i+1]3, C16 ← M[2i+1]2, C25 ← M[2i+1]1, C34 ← M[2i+1]0

for k ← 0 to 2 // 선형단계2
Yi = (Xi-1 ⊕ Xi ⊕ Xi+1)
(K[j]3 || K[j]2 || K[j]1 || K[j]0) ≪ 1
(CC3 || CC2 || CC1 || CC0) ≪ 7
(DD3 || DD2 || DD1 || DD0) ≪ 13

for k ← 0 to 2 // 비선형단계2
Yi = (Xi-1 ⊕ Xi ⊕ Xi+1) OR (Xi ⊕ Xi+1)
(K[j]3 || K[j]2 || K[j]1 || K[j]0) ≪ 1
(CC3 || CC2 || CC1 || CC0) ≪ 7
(DD3 || DD2 || DD1 || DD0) ≪ 13

i += 1, j += 1
}

```

3) 출력값

모든 512비트 메시지 블록을 처리한 후의 연쇄변수 H_1 은 다음과 같다.

$$\begin{aligned}
H_{10} &\leftarrow C_0 \| C_9 \| C_{18} \| C_{27}, & H_{11} &\leftarrow C_2 \| C_{11} \| C_{20} \| C_{29}, \\
H_{12} &\leftarrow C_4 \| C_{13} \| C_{21} \| C_{30}, & H_{13} &\leftarrow C_6 \| C_{15} \| C_{24} \| C_{33}, \\
H_{14} &\leftarrow C_8 \| C_{17} \| C_{26} \| C_{35}
\end{aligned}$$

4. 2CAH에 대한 충돌쌍 공격

본 절에서는 2CAH의 전체라운드 차분특성을 구성하고, 구성된 차분특성을 이용한 충돌쌍 공격을 소개한다.

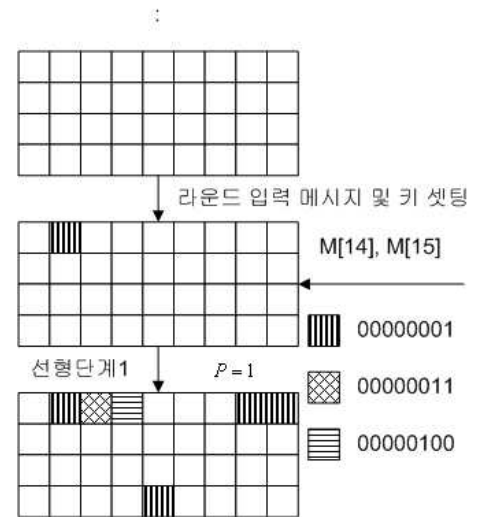
가. 차분 특성

본 공격에서 사용하는 메시지 워드의 차분은 다음과 같다.

$$\Delta M = M \oplus M' = (\Delta M[0], \Delta M[1], \dots, \Delta M[15])$$

$$\Delta M[14] = 01000000_x, \Delta M[i] = 0 \quad (0 \leq i \leq 15, i \neq 14)$$

7라운드까지 입력되는 메시지의 차분이 0이므로, 7라운드 후 전체 셀룰라 공간의 차분은 0이 된다. 이후 8라운드에 사용되는 메시지 $M[14]$ 에 최초로 0이 아닌 차분 01000000_x이 입력되어 셀룰라 공간 C_1 의 차분은 01_x이 되고, 나머지 공간들은 차분이 0이 된다. 선형단계 1 이후의 전체 셀룰라 공간의 차분은 확률 1로 [그림 4]와 같이 구성된다.



[그림 4] 선형단계 1 이후의 차분 특성

단계함수연산 NL에 의해 전체 셀룰라 공간의 차분이 0이 되는 확률을 계산한다. 우선, 비선형 함수 NL의 연산은 비트별로 수행된다. 그러므로 세 비트를 입력받아 한 비트를 출력하는 부울함수로 생각할 수 있다. 비선형 함수 NL의 차분 분포표를 구성하면 [표 4]와 같다.

출력차분 \ 입력차분	0	1	확률
000	8	0	1
001	4	4	2 ⁻¹
010	4	4	2 ⁻¹
011	8	0	1
100	4	4	2 ⁻¹
101	4	4	2 ⁻¹
110	4	4	2 ⁻¹
111	4	4	2 ⁻¹

[표 4] 비선형 함수 NL의 차분 분포표

[표 4]에 의해서 선형단계 1과 비선형단계 1 이후에 전체 셀룰라 공간의 차분이 모두 0이 될 확률은 2⁻¹⁴이다.

나. 충돌쌍 공격

앞에서 살펴본 선형함수 L과 비선형 함수 NL의 차분 특성을 이용하여 충돌쌍 공격을 제안한다.

서로 다른 메시지 M, M'에서 메시지 워드 $M[14]$ 에 01000000_x의 차분을 준 후, 선형함수 L과 비선형 함수 NL를 거치면, 2^{14} 의 확률로 차분이 0이 됨을 알 수 있다. 차분이 0이 된 후 라운드 입력 메시지를 갱신하여 셀룰라 공간에 입력하면 새로운 위치에 메시지 차분이 생기게 된다. 하지만, 위치만 바뀌고 최하위 비트의 차분은 그대로임을 알 수 있다. 선형단계 2와 비선형단계 2를 거친 후 모든 차분이 사라질 확률은 위와 마찬가지로 2^{14} 이 된다. 따라서 ΔM 을 만족하는 메시지 M, M'에 대하여 해쉬 출력값이 같은 확률은 2^{-28} 이다.

그러므로 2^{28} 개의 메시지 쌍이 주어졌을 때, 1개의 충돌쌍을 찾을 수 있다.

5. 결 론

본 논문에서는 2차원 셀룰라 오토마타를 기반으로 한 해쉬함수를 분석하였다. 본 논문에서 제안한 공격을 이용하여 충돌쌍을 2^{28} 의 확률로 찾을 수 있었다. 이를 통하여 이 해쉬함수는 매우 취약함을 알 수 있다. 또한 본 논문에서 이용한 차분 특성을 이용하여 더 좋은 확률로 충돌쌍을 찾을 수 있을 것으로 예상된다.

참 고 문 헌

- [1] 김재겸, "이차원 셀룰라 오토마타에 기반하는 해쉬 함수", Journal of Korea Multimedia Society Vol. 8, No. 5, 2005.
- [2] 정기태, 이제상, 장동훈, 성재철, 이상진, "셀룰러 오토마타 기반 해쉬 함수 분석", 정보보호학회 논문지, 제 14권 6호, 2004.
- [3] 류한성, 이제상, 이창훈, 성재철, 홍석희, "셀룰러 오토마타 기반 블록 암호에 대한 부분키 공격", KoreaCrypt 2007.
- [4] P. Chaudhuri, D. Chowdhury, S. Nandi and S. Chatterjee, "Additive Cellular Automata - Theory and Applications", IEEE Computer Society Press, Vol. 1, CA, USA, 1997.
- [5] S. Wolfram, "Cryptography with Cellular Automata", CRYPTO'85, LNCS 218, pp. 429-432, Springer-Verlag, 1985.
- [6] P. P. Chaudhuri, D. R. chowdhuri, S. Nandi, S. Chattopadhyay, "Additive Cellular Automata: Theory and Applications", IEEE Press, NewYork, 1997.
- [7] S. Nandi, B. K. Kar, P. Pal Chaoudhuri, "Theory and Applications of Cellular Automata in Cryptography", IEEE Transaction on Computer, Vol. 43, No. 12, 1994.

[8] S. Wolfram, "cryptography with cellular automata", Internet request for momments 1321, R.L. Rivest, 1992.

[9] S. Wolfram, "Cryptography with Cellular Automata", Advances in Cryptology - CRYPTO 85, LNCS Vol. 218, pp. 429'432, 1985.